

# ***Q-РАСПРЕДЕЛЕНИЕ ДЛЯ ОДНОАТОМНОГО ЛАЗЕРА, РАБОТАЮЩЕГО В «КЛАССИЧЕСКОМ» РЕЖИМЕ***

***Н. В. Ларинов\****

*Санкт-Петербургский государственный морской технический университет  
190121, Санкт-Петербург, Россия*

*Санкт-Петербургский политехнический университет Петра Великого  
195251, Санкт-Петербург, Россия*

Поступила в редакцию 5 октября 2021 г.,  
после переработки 5 октября 2021 г.  
Принята к публикации 11 октября 2021 г.

Теоретически исследуется модель одноатомного лазера с некогерентной накачкой. В стационарном случае из уравнения для оператора плотности системы выводится линейное однородное дифференциальное уравнение для усредненной по фазе *Q*-функции Хусими. В режиме, при котором связь поля с атомом во много раз сильнее, чем связь поля с резервуаром, обеспечивающим его распад, найдено асимптотическое решение этого уравнения. Это решение позволяет описать некоторые статистические особенности одноатомного лазера, в частности, слабую субпуассоновскую статистику фотонов.

**DOI:** 10.31857/S004445102202002X

## **1. ВВЕДЕНИЕ**

В настоящее время источники неклассических состояний света востребованы в таких областях физики, как квантовая информатика, квантовые коммуникации, квантовая криптография и квантовые стандарты частоты [1–5]. Проводятся различные исследования, направленные на создание таких источников. В частности, есть работы, в которых для получения определенных состояний света, а также для создания различных элементов квантовых устройств предлагаются использовать системы, состоящие всего из одного или нескольких квантовых излучателей [6–9]. Свойства одиночного излучателя отображаются на состоянии электромагнитного поля, что позволяет получить, к примеру, субпуассоновский свет [10].

Одной из фундаментальных моделей квантовой оптики является модель одноатомного лазера. Данной модели посвящено множество как теоретических [11–27], так и экспериментальных [28–30] работ. Различные эффекты, обнаруженные в этих ра-

ботах, в основном связаны с сильным проявлением ферми-статистики одиночного излучателя: эффект самотушения, сжатие амплитудной компоненты поля, субпуассоновская статистика фотонов, генерация без инверсии и др.

Существенный вклад в понимание физики одноатомного лазера был сделан группой ученых из Института физики НАН Беларуси, возглавляемой С. Я. Килином (см. [11, 15–18, 20, 27] и ссылки в них). Один из теоретических подходов, используемых этой группой, основан на анализе уравнения для оператора плотности системы, записанного для таких квазивероятностных распределений, как *P*-функция Глаубера и *Q*-функция Хусими, позволяющих находить нормально и антнормально упорядоченные корреляционные функции полевых операторов соответственно.

В работе [21] для случая стационарного режима работы одноатомного лазера с некогерентной накачкой было получено линейное однородное дифференциальное уравнение второго порядка для усредненной по фазе *P*-функции. В предельном случае, когда связь поля с атомом во много раз сильнее, чем связь поля с резервуаром, обеспечивающим его затухание (так называемый «классический» режим — режим, в котором для одноатомного лазера возможно су-

\* E-mail: larionov.nickolay@gmail.com

ществование порога генерации [19]), было получено приближенное решение этого уравнения. Последнее, являющееся порождающим решением в проблеме малого параметра у старшей производной (сингулярно возмущенная задача, см., к примеру, [31]), для определенных значений параметров лазера дает хорошее согласие с численными расчетами и, более того, содержит в себе некоторые предельные решения, полученные ранее в [15, 16]. Дальнейший анализ этого уравнения позволил получить приближенное выражение для *P*-функции, которая, в отличие от предыдущих решений, демонстрирует существенно неклассическое поведение — становится отрицательно определенной [22].

В силу специфики *P*-функции, которая может быть отрицательной и/или неограниченной, анализ упомянутого уравнения и его приближенных решений сталкивается с определенными трудностями. В частности, здесь возникает проблема искусственного ограничения области определения *P*-функции (см., к примеру, [15, 21]). В связи с этим возникает естественное желание получить аналогичное уравнение, но для «хорошего» квазивероятностного распределения. В качестве последнего в представленной статье было выбрано квазивероятностное распределение *Q*, которое является неотрицательно определенным и ограниченным.

Статья имеет следующую структуру. В разд. 2 для одноатомного лазера с некогерентной накачкой, генерирующего в стационарном режиме, выводится однородное дифференциальное уравнение для усредненной по фазе *Q*-функции. Раздел 3 посвящен анализу выведенного уравнения в случае «классического» режима работы лазера. Находится асимптотическое решение этого уравнения, которое сравнивается с соответствующим решением для *P*-функции [21]. В разд. 4 с помощью найденного решения исследуется статистика фотонов в моде резонатора. Основное внимание уделено области значений параметров лазера, для которых ранее была предсказана слабая субпуассоновская статистика [19]. В разд. 5 для определенных значений параметра накачки лазера найденное асимптотическое решение приводится к простому гауссовому виду. Этот гауссов вид решения позволяет легко найти связь с ранее разработанной теорией, основанной на линеаризации уравнений Гейзенберга — Ланжевена по малым флуктуациям вблизи сильного «классического» решения [19]. В Заключении подводятся итоги проведенного исследования.

## 2. МОДЕЛЬ ОДНОАТОМНОГО ЛАЗЕРА. УРАВНЕНИЕ ДЛЯ УСРЕДНЕННОЙ ПО ФАЗЕ *Q*-ФУНКЦИИ

Рассматриваемая модель одноатомного лазера представлена одиночным двухуровневым атомом, взаимодействующим с затухающей модой резонатора. Некогерентная накачка атома с нижнего уровня  $|1\rangle$  на верхний уровень  $|2\rangle$  осуществляется со скоростью  $\Gamma/2$ . Спонтанный распад атома с верхнего уровня  $|2\rangle$  на нижний  $|1\rangle$  происходит со скоростью  $\gamma/2$ . Константа взаимодействия атома с модой резонатора обозначена как  $g$ . Затухание моды резонатора происходит со скоростью  $\kappa/2$ .

Уравнение для оператора плотности  $\hat{\rho}$  одноатомного лазера имеет вид

$$\begin{aligned} \frac{\partial \hat{\rho}}{\partial t} = & -\frac{i}{\hbar} [\hat{V}, \hat{\rho}] + \frac{\kappa}{2} (2 \hat{a} \hat{\rho} \hat{a}^\dagger - \hat{a}^\dagger \hat{a} \hat{\rho} - \hat{\rho} \hat{a}^\dagger \hat{a}) + \\ & + \frac{\gamma}{2} (2 \hat{\sigma} \hat{\rho} \hat{\sigma}^\dagger - \hat{\sigma}^\dagger \hat{\sigma} \hat{\rho} - \hat{\rho} \hat{\sigma}^\dagger \hat{\sigma}) + \\ & + \frac{\Gamma}{2} (2 \hat{\sigma}^\dagger \hat{\rho} \hat{\sigma} - \hat{\sigma} \hat{\sigma}^\dagger \hat{\rho} - \hat{\rho} \hat{\sigma} \hat{\sigma}^\dagger), \end{aligned} \quad (1)$$

где  $\hat{a}^\dagger, \hat{a}$  — операторы соответственно рождения и уничтожения фотонов в моде резонатора;  $\hat{\sigma}^\dagger = |2\rangle\langle 1|$ ,  $\hat{\sigma} = |1\rangle\langle 2|$  — операторы атомных переходов;  $\hat{V} = i\hbar g (\hat{a}^\dagger \hat{\sigma} - \hat{\sigma}^\dagger \hat{a})$  — оператор взаимодействия атома с модой резонатора,  $\hbar$  — приведенная постоянная Планка. Физический смысл каждого слагаемого в правой части (1) определяется соответствующей скоростной константой.

Будем рассматривать диагональное представление антитормально упорядоченного оператора плотности  $\hat{\rho}(z, z^*)$ , которое определяется следующим образом:

$$\hat{\rho} = \int \hat{\rho}(z, z^*) |z\rangle\langle z| d^2z, \quad (2)$$

где  $|z\rangle$  — когерентное состояние поля,  $d^2z \equiv d\text{Re}[z]d\text{Im}[z]$  и  $\text{Re}[z], \text{Im}[z]$  — действительная и мнимая части комплексного числа  $z$ . Используя известные правила перехода [32]

$$\begin{aligned} \hat{a}^\dagger \hat{\rho} &\rightarrow z^* \hat{\rho}(z, z^*), \\ \hat{a} \hat{\rho} &\rightarrow \left( z + \frac{\partial}{\partial z^*} \right) \hat{\rho}(z, z^*), \\ \hat{\rho} \hat{a} &\rightarrow z \hat{\rho}(z, z^*), \\ \hat{\rho} \hat{a}^\dagger &\rightarrow \left( z^* + \frac{\partial}{\partial z} \right) \hat{\rho}(z, z^*) \end{aligned} \quad (3)$$

и вводя функции

$$\begin{aligned} \rho_{ik}(z, z^*) &= \langle i | \hat{\rho}(z, z^*) | k \rangle, \quad i, k = 1, 2, \\ D(z, z^*) &= \rho_{22}(z, z^*) - \rho_{11}(z, z^*) \end{aligned}$$

и  $Q$ -функцию

$$Q(z, z^*) = \rho_{11}(z, z^*) + \rho_{22}(z, z^*),$$

из уравнения (1) можно легко получить систему дифференциальных уравнений в частных производных:

$$\begin{aligned} \frac{\partial Q}{\partial t} &= \frac{\partial}{\partial z} \left[ \frac{\kappa}{2} \left( zQ + \frac{\partial Q}{\partial z^*} \right) - g\rho_{21} \right] + \\ &\quad + \frac{\partial}{\partial z^*} \left[ \frac{\kappa}{2} \left( z^*Q + \frac{\partial Q}{\partial z} \right) - g\rho_{12} \right], \\ \frac{\partial D}{\partial t} &= (\Gamma - \gamma)Q - (\Gamma + \gamma)D + \\ &\quad + \frac{\partial}{\partial z} \left[ \frac{\kappa}{2} zD - g\rho_{21} \right] + \frac{\partial}{\partial z^*} \left[ \frac{\kappa}{2} z^*D - g\rho_{12} \right] - \quad (4) \\ &\quad - 2g[z^*\rho_{21} + z\rho_{12}] + \kappa \frac{\partial^2 D}{\partial z \partial z^*}, \\ \frac{\partial \rho_{21}}{\partial t} &= -\frac{\Gamma + \gamma}{2}\rho_{21} + \frac{\kappa}{2} \left[ \frac{\partial}{\partial z} z\rho_{21} + \frac{\partial}{\partial z^*} z^*\rho_{21} \right] + \\ &\quad + g \left[ zD + \frac{1}{2} \frac{\partial}{\partial z^*} (D - Q) \right] + \kappa \frac{\partial^2 \rho_{21}}{\partial z \partial z^*}. \end{aligned}$$

Здесь и далее, для того чтобы избежать громоздкость выражений, у квазивероятностей опущены скобки с комплексными аргументами  $z, z^*$ .

Физический смысл дополнительных функций  $\rho_{21}$  и  $D$  следует из их средних значений:

$$\langle D \rangle = \langle \rho_{22} \rangle - \langle \rho_{11} \rangle \equiv \langle \hat{\sigma}_z \rangle = \int D d^2 z$$

— атомная инверсия,

$$\langle \rho_{21} \rangle = \langle \rho_{12} \rangle^* \equiv \langle \hat{\sigma} \rangle = \int \rho_{21} d^2 z$$

— среднее значение атомной поляризации.

Первое уравнение в системе (4) можно переписать в виде уравнения неразрывности

$$\frac{\partial Q}{\partial t} + \operatorname{div} \mathbf{J} = q, \quad (5)$$

где определены дивергенция  $\operatorname{div} = (\partial/\partial z, \partial/\partial z^*)$  и вектор тока квазивероятности  $\mathbf{J} = (J, J^*)$ ,  $J = -\kappa/2(z + \partial/\partial z^*)Q$ . Источник  $q = -g(\partial\rho_{21}/\partial z + \partial\rho_{12}/\partial z^*)$  также может быть записан через дивергенцию некоторого вектора.

Перейдем к новым полярным координатам  $(I, \varphi)$ , таким что  $z = \sqrt{I}e^{i\varphi}$ , и определим усредненные по фазе  $\varphi$  квазивероятностные распределения как

$$\begin{aligned} Q(I) &= \frac{1}{2\pi} \int_0^{2\pi} Q(I, \varphi) d\varphi, \\ D(I) &= \frac{1}{2\pi} \int_0^{2\pi} D(I, \varphi) d\varphi, \\ \rho_{12}(I) &= \rho_{21}^*(I) = \frac{1}{2\pi} \int_0^{2\pi} e^{i\varphi} \rho_{12}(I, \varphi) d\varphi. \end{aligned} \quad (6)$$

Тогда в стационарном случае из уравнения неразрывности (5) можно получить следующую связь между  $Q(I)$  и суммой когерентностей  $\rho_\Sigma(I) = \rho_{21}(I) + \rho_{12}(I)$ :

$$\rho_\Sigma(I) = \frac{\kappa}{g} \sqrt{I} \left[ Q(I) + \frac{dQ(I)}{dI} \right]. \quad (7)$$

Из двух последних уравнений системы (4) в стационарном случае имеем

$$\begin{aligned} (\Gamma - \gamma)Q(I) - (\Gamma + \gamma)D(I) - 2g\sqrt{I}\rho_\Sigma(I) &= \\ &= \frac{d}{dI} \left[ g\sqrt{I}\rho_\Sigma(I) - \kappa ID(I) - \kappa I \frac{dD(I)}{dI} \right], \\ (\Gamma + \gamma)\rho_\Sigma(I) + \frac{\kappa}{2I}\rho_\Sigma(I) - & \quad (8) \\ - 2g\sqrt{I} \left[ 2D(I) + \frac{d}{dI}(D(I) - Q(I)) \right] &= \\ &= 2\kappa \frac{d}{dI} I \left[ \rho_\Sigma(I) + \frac{d\rho_\Sigma(I)}{dI} \right]. \end{aligned}$$

Используя (7), можно исключить из системы (8) функцию  $\rho_\Sigma(I)$  и получить систему двух дифференциальных уравнений относительно неизвестных функций  $Q(I)$  и  $D(I)$ .

Наша задача состоит в получении одного дифференциального уравнения для функции  $Q(I)$ . Но первое уравнение в системе (8) (говорим о системе (8), подразумевая, что  $\rho_\Sigma(I)$  исключена из нее при помощи (7)) является дифференциальным уравнением второго порядка относительно функции  $D(I)$ , а второе — первого порядка относительно той же функции  $D(I)$ . Поэтому, для того чтобы исключить из (8)  $D(I)$ ,  $dD(I)/dI$  и  $d^2 D(I)/dI^2$ , нужно добавить к этой системе еще одно уравнение, которое содержало бы вторую производную функции  $D(I)$ . Это уравнение можно получить, продифференцировав второе уравнение в системе (8).

Опуская промежуточные элементарные вычисления, выпишем окончательный результат:

$$\sum_{\nu=0}^5 p_\nu(I) Q^{(\nu)}(I) = 0, \quad (9)$$

$$\begin{aligned} p_5(I) &= b_{02}I^2 + b_{03}I^3, \\ p_4(I) &= b_{11}I + b_{12}I^2 + b_{13}I^3, \\ p_3(I) &= b_{20} + b_{21}I + b_{22}I^2 + b_{23}I^3, \\ p_2(I) &= b_{30} + b_{31}I + b_{32}I^2 + b_{33}I^3, \\ p_1(I) &= b_{40} + b_{41}I + b_{42}I^2, \\ p_0(I) &= b_{50} + b_{51}I + b_{52}I^2, \end{aligned}$$

где введено обозначение  $Q^{(\nu)}(I) \equiv d^\nu Q(I) / dI^\nu$  и коэффициенты  $b_{ik} = b_{ik}(\Gamma, \gamma, \kappa, g)$  выписаны в Приложении.

Таким образом, искомое уравнение для усредненной по фазе  $Q$ -функции является однородным дифференциальным уравнением пятого порядка с полиномиальными коэффициентами. Напомним, что соответствующее уравнение для усредненной по фазе  $P$ -функции является уравнением второго порядка [21].

### 3. ФУНКЦИЯ $Q(I)$ ДЛЯ ОДНОАТОМНОГО ЛАЗЕРА, РАБОТАЮЩЕГО В «КЛАССИЧЕСКОМ» РЕЖИМЕ

Далее, как и в работах [19, 21], будем использовать следующие три безразмерных параметра: безразмерный параметр накачки  $r = \Gamma/\gamma$ , безразмерный коэффициент насыщения  $I_s = \gamma/\kappa$  и безразмерную константу связи (кооперативный параметр)  $c = 4g^2/\gamma\kappa$ .

Как упоминалось выше, в статье [21] для рассматриваемого одноатомного лазера было выведено уравнение для усредненной по фазе  $P$ -функции  $P(I)$ . Это уравнение представляет собой однородное дифференциальное уравнение второго порядка с полиномиальными коэффициентами. В «классическом» режиме, когда произведение  $cI_s \gg 1$  (т. е.  $g/\kappa \gg 1$ ), в этом уравнении можно выделить малый параметр  $\lambda \approx 1/cI_s$ , стоящий при старшей производной. Используя теорию возмущений, авторы статьи [21] нашли порождающее решение  $P_0(I)$  этого уравнения (формула (50) в [21]), являющееся решением дифференциального уравнения первого порядка.

В случае «хорошего» резонатора  $I_s \gg 1$  функция  $P_0(I)$  хорошо описывает статистические свойства одноатомного лазера. В частности, с ее помощью можно описать некоторые результаты, получающиеся из решения системы уравнений Гейзенберга – Ланжевена путем их линеаризации по малым флуктуациям вблизи сильного «классического» решения [19, 21] (далее «линейная» теория). Выпишем результаты этой «линейной» теории:

$$\begin{aligned} I_0(r, I_s, c) &= \frac{I_s}{2} \left[ (r-1) - \frac{(r+1)^2}{c} \right], \\ Q_f^{lin}(r, c) &= \frac{2c^2 - c(r-5)(r+1) + 3(r+1)^3}{2c^2 \left[ (r-1) - \frac{(r+1)^2}{c} \right]}. \quad (10) \end{aligned}$$

Здесь  $I_0 \approx \langle \hat{n} \rangle \equiv \langle \hat{a}^\dagger \hat{a} \rangle$  — классическая внутрирезонаторная интенсивность (сильное «классическое» решение), а  $Q_f^{lin} \approx Q_f = (\langle \hat{n}^2 \rangle - \langle \hat{n} \rangle^2) / \langle \hat{n} \rangle - 1$  —  $Q$ -параметр Манделя для поля (верхний индекс «lin» указывает на то, что это результат «линейной» теории).

Формулы (10) имеют смысл для  $c > 8$  и для  $r \in (r_{th}, r_q)$ , где  $r_{th}$  — пороговое значение параметра накачки и  $r_q$  — значение параметра накачки, при котором происходит эффект самотушения. Явные выражения для  $r_{th}, r_q$  получаются из уравнения  $I_0 = 0$ :

$$r_{th} = r_m - \frac{c}{2} \sqrt{1 - \frac{8}{c}}, \quad r_q = r_m + \frac{c}{2} \sqrt{1 - \frac{8}{c}}, \quad (11)$$

где  $r_m = c/2 - 1$  значение накачки, когда интенсивность  $I_0$  достигает своего максимума  $I_m = I_s(c/8 - 1)$ .

Результаты (10) предсказывают незначительную субпуассоновскую статистику фотонов в mode резонатора [21]. При  $c \approx 200$  и выше и для значений параметра накачки, близких к  $r = c/5$ ,  $Q$ -параметр Манделя  $Q_f^{lin}$  становится отрицательным и при  $c \rightarrow \infty$  принимает значение равное  $-0.05$ .  $P$ -функция в этой области значений параметров демонстрирует неклассическое поведение [22] — становится отрицательно определенной и неограниченной, а у приближенного решения  $P_0(I)$  появляется существенно особая точка, близкая к  $I_0$ , не позволяющая подтвердить результаты «линейной» теории.

Отметим, что для рассматриваемой модели одноатомного лазера выявленное минимальное значение  $Q$ -параметра Манделя равно  $-0.15$  [13, 24]. Такая субпуассоновская статистика связана с эффектом антигрушировки фотонов, который лучше всего проявляется в режиме малого числа фотонов в mode резонатора  $rI_s \approx 1$  ( $\Gamma \approx \kappa$ ) [24]. Однако в рассматриваемом нами «классическом» режиме, т. е. в режиме, когда существуют решения (10), этот эффект ослаблен присутствием большого числа фотонов, некогерентно накопленных в mode и обладающих относительно большим стохастическим временем жизни.

Теперь перейдем к выделению малого параметра  $\lambda \approx 1/cI_s$  в уравнении (9) и попробуем получить соответствующее порождающее решение для  $Q$ -функции. Будем действовать так же, как и в работе [21].

Для этого перепишем полиномы  $p_\nu(I)$ , выделив в них корни:

$$\begin{aligned} p_5(I) &= b_{03}I^2(I - I_{00}), \\ p_4(I) &= b_{13}I(I - I_{11})(I - I_{12}), \\ p_3(I) &= b_{23}(I - I_{21})(I - I_{22})(I - I_{23}), \\ p_2(I) &= b_{33}(I - I_{31})(I - I_{32})(I - I_{33}), \\ p_1(I) &= b_{42}(I - I_{-4})(I - I_{+4}), \\ p_0(I) &= b_{52}(I - I_{-5})(I - I_{+5}), \end{aligned} \quad (12)$$

где в последних двух полиномах обозначения корней аналогичны обозначениям в работе [21].

Коэффициенты при двух последних полиномах  $b_{42}, b_{52} \sim cI_s$ , а коэффициенты при всех остальных полиномах порядка единицы. Поэтому в режиме  $cI_s \gg 1$  заменим уравнение (9) на приближенное уравнение первого порядка

$$\begin{aligned} b_{42}(I - I_{-4})(I - I_{+4})Q^{(1)}(I) + \\ + b_{52}(I - I_{-5})(I - I_{+5})Q(I) = 0. \end{aligned} \quad (13)$$

Решение этого уравнения имеет следующий вид:

$$\begin{aligned} Q_0(I) = N_0 \left(1 - \frac{I}{I_{-4}}\right)^{f_1} \times \\ \times \left|\left(1 - \frac{I}{I_{+4}}\right)\right|^{f_2} \exp\left(-\frac{b_{52}}{b_{42}}I\right), \end{aligned} \quad (14)$$

$$\begin{aligned} f_1 &= -\frac{b_{52}}{b_{42}} \frac{(I_{-4} - I_{-5})(I_{-4} - I_{+5})}{I_{-4} - I_{+4}}, \\ f_2 &= \frac{b_{52}}{b_{42}} \frac{(I_{+4} - I_{-5})(I_{+4} - I_{+5})}{I_{-4} - I_{+4}}, \end{aligned}$$

где  $N_0$  — нормировочная константа, а нижний индекс «0» у функции указывает на то, что это решение является порождающим в задаче с малым параметром.

Найденное решение (14) по своей структуре практически полностью совпадает с соответствующим порождающим решением  $P_0(I)$  для  $P$ -функции (см. формулу (50) в [21]). Однако у решения (14) есть некоторые преимущества, связанные с тем, что  $Q$ -функция неотрицательно определена и ограничена. Так, экспонента в (14), в связи с положительностью отношения  $b_{52}/b_{42} > 0$ , убывает при возрастании аргумента  $I$ . Напротив, функция  $P_0(I)$ , найденная в [21], экспоненциально возрастает при  $I \rightarrow \infty$ , что явилось одной из причин искусственно ограничения ее области определения.

Первая скобка  $(1 - I/I_{-4})$  в правой части (14) всегда положительна, так как корень  $I_{-4} < 0$ . Вторая скобка  $(1 - I/I_{+4})$  становится отрицательной

для  $I > I_{+4}$  (корень  $I_{+4} > 0$ ), а следовательно,  $Q_0(I)$  принимает комплексное значение, что недопустимо для  $Q$ -функции. Однако для случая «хорошего» резонатора,  $I_s \gg 1$ , значение корня  $I_{+4}$  близко к тем значениям переменной  $I$ , для которых  $Q$ -функция — пренебрежимо малая величина. Для случая «плохого» резонатора,  $I_s \sim 1$ ,  $I_s \ll 1$ , значение корня  $I_{+4}$  находится в области значений переменной  $I$ , где  $Q$ -функция не является малой. Если же ограничивать область определения функции  $Q_0(I)$  отрезком  $[0, I_{+4}]$ , как это было сделано для функции  $P_0(I)$  в [21], то это может приводить к нефизическим результатам. Поэтому скобка  $(1 - I/I_{+4})$  в (14) взята под знак модуля.

Отметим несколько особенностей решения (14), которые есть и у функции  $P_0(I)$ . Корень  $I_{-5}$  практически полностью повторяет решение для классической внутрирезонаторной интенсивности (10), т. е.  $I_{-5} \approx I_0$ . В случае «хорошего» резонатора, вблизи максимума классического решения  $I_0$ , выполняется приближенное равенство  $I_{+4} \approx I_{+5}$ .

Анализ уравнения (9) показывает, что решение (14) не может быть использовано для описания работы лазера в случае, когда параметр накачки много меньше порогового значения  $r_{th}$ . В этом случае, учитывая, что основные изменения  $Q$ -функции происходят в области малых значений переменной  $I$ , можно рассмотреть уравнение, получающееся из (9) путем пренебрежения в полиномах всеми степенями переменной  $I$ , т. е.

$$\begin{aligned} b_{20}Q^{(3)}(I) + b_{30}Q^{(2)}(I) + \\ + b_{40}Q^{(1)}(I) + b_{50}Q(I) = 0. \end{aligned} \quad (15)$$

Решение этого уравнения имеет вид

$$Q(I) = N_0 \exp(I/a), \quad (16)$$

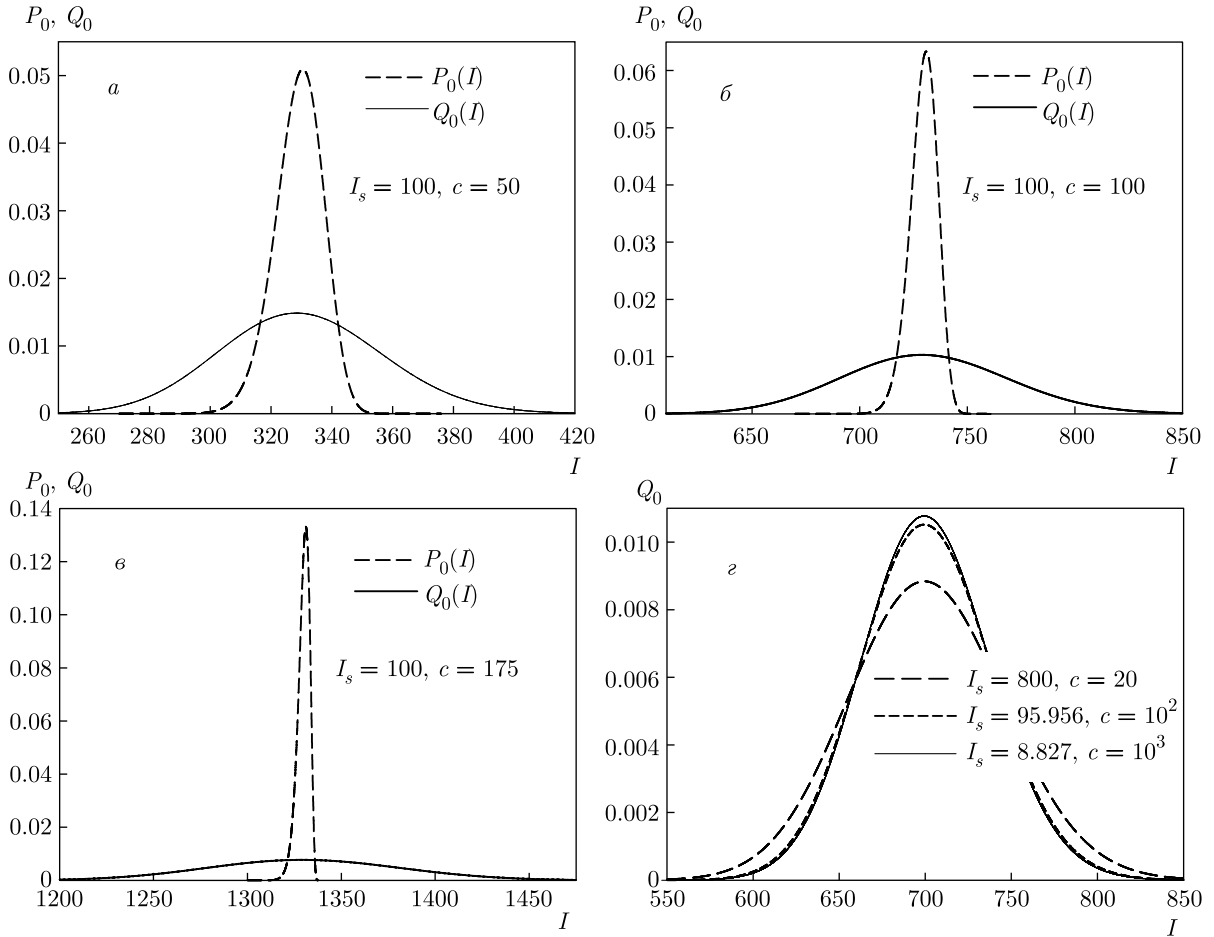
где константа  $a < 0$  является действительным корнем полиномиального уравнения

$$b_{20}x^3 + b_{30}x^2 + b_{40}x + b_{50} = 0.$$

Эта константа при  $r \rightarrow 0, \infty$  стремится к минус единице, т. е. в этих предельных случаях  $Q$ -функция описывает вакуумное состояние моды:

$$Q(I) = e^I/\pi.$$

Таким образом, решение (16) описывает тепловое излучение со средним числом фотонов равным  $\langle \hat{n} \rangle = -(a + 1)$ .



**Рис. 1.** Сравнение поведения функций  $P_0(I)$  [21] и  $Q_0(I)$  (14): *a*)  $I_s = 100, c = 50$ ; *б*)  $I_s = 100, c = 100$ ; *в*)  $I_s = 100, c = 175$ . *г*) Поведение функции  $Q_0(I)$  (14) при переходе в режим сильной связи

#### 4. РЕЗУЛЬТАТЫ РАСЧЕТОВ

На рис. 1 сравнивается поведение функций  $P_0(I)$  [21] и  $Q_0(I)$  (14) при переходе в режим, близкий к режиму сильной связи  $c \gg I_s$  (т. е.  $g \gg \gamma$  — связь атома с полем во много раз сильнее, чем связь атома с резервуаром, обеспечивающим его спонтанный распад вне моды резонатора). Для всех графиков  $r = c/5$ , т. е. выбрано значение параметра накачки, при котором  $Q$ -параметр Манделя  $Q_f^{lin}$  (10) принимает минимальное значение. Видно, что увеличение константы связи  $c$  при фиксированном  $I_s$  приводит к все более узкому и выраженному пику для функции  $P_0(I)$ . При  $c = 175$  заметна несимметричность этой функции, связанная с ограниченностью ее области определения. Для  $c \approx 200$  у функции  $P_0(I)$  появляется особенность (аналогичная особенность наблюдалась в [24, 25]), которая не позволяет вычислить интересующие средние величины. При дальнейшем увеличении константы связи  $c$  эта особенность ухо-

дит за область определения функции  $P_0(I)$ , но вычисление средних дает неправдоподобные результаты. Функция  $Q_0(I)$ , как и следовало ожидать, не имеет никаких особенностей и позволяет легко вычислять интересующие средние величины.

В табл. 1 для значений параметров лазера, соответствующих рис. 1*a,b,c*, представлены результаты «линейной» теории (10) (в таблице обозначены как Lin) и результаты, полученные с помощью функций  $P_0(I)$  и  $Q_0(I)$ . Видно хорошее согласие между различными подходами.

На рис. 1*г*, все также для  $r = c/5$ , представлено поведение функции  $Q_0(I)$  при переходе в режим сильной связи. При этом параметры  $c, I_s$  подобраны так, чтобы классическая внутрирезонаторная интенсивность была равна  $I_0 = 700$ . В табл. 2 приведены соответствующие значения  $\langle \hat{n} \rangle$  и  $Q_f$ .

В табл. 2 только первые два верхних блока соответствуют графикам на рис. 1*г*. Нижний блок относится к режиму сильной связи и «плохого» ре-

Таблица 1

Рис. 1 $\alpha$	$I_s = 100, c = 50$
Lin	$I_0 = 329, Q_f^{lin} = 0.19$
$P_0$	$\langle \hat{n} \rangle = 329.1, Q_f = 0.19$
$Q_0$	$\langle \hat{n} \rangle = 329.1, Q_f = 0.19$
Рис. 1 $\beta$	$I_s = 100, c = 100$
Lin	$I_0 = 729.5, Q_f^{lin} = 0.056$
$P_0$	$\langle \hat{n} \rangle = 729.6, Q_f = 0.056$
$Q_0$	$\langle \hat{n} \rangle = 729.6, Q_f = 0.057$
Рис. 1 $\gamma$	$I_s = 100, c = 175$
Lin	$I_0 = 1329.7, Q_f^{lin} = 0.0075$
$P_0$	$\langle \hat{n} \rangle = 1329.8, Q_f = 0.008$
$Q_0$	$\langle \hat{n} \rangle = 1329.8, Q_f = 0.0084$

Таблица 2

Рис. 1 $\varepsilon$	$I_s = 95.95, c = 10^2$
Lin	$I_0 = 700, Q_f^{lin} = 0.056$
$P_0$	$\langle \hat{n} \rangle = 700.1, Q_f = 0.056$
$Q_0$	$\langle \hat{n} \rangle = 700.1, Q_f = 0.057$
Рис. 1 $\varepsilon$	$I_s = 8.83, c = 10^3$
Lin	$I_0 = 700, Q_f^{lin} = -0.04$
$P_0$	$\langle \hat{n} \rangle = \text{UnPh}, Q_f = \text{UnPh}$
$Q_0$	$\langle \hat{n} \rangle = 700.1, Q_f = -0.039$
	$I_s = 0.87, c = 10^4$
Lin	$I_0 = 700, Q_f^{lin} = -0.049$
$P_0$	$\langle \hat{n} \rangle = \text{UnPh}, Q_f = \text{UnPh}$
$Q_0$	$\langle \hat{n} \rangle = 700.1, Q_f = -0.047$

резонатора,  $I_s = 0.87$  (график не приведен, так как он практически совпадает с графиком для случая  $c = 10^3$ ). Из приведенных значений видно, что найденная  $Q$ -функция  $Q_0(I)$  (14) хорошо описывает слабую субпуассоновскую статистику, предсказанную «линейной» теорией. Случай «плохого» резонатора и случаи  $c \approx 200, c > 200$  функция  $P_0(I)$  описать не может (аббревиатура UnPh в табл. 2 означает нефизический результат, Unphysical result).

На рис. 2 сравниваются результаты «линейной» теории с результатами, полученными с помощью решений (14), (16). Для случая «хорошего» резонатора,  $I_s \gg 1$ , и для значений параметра накачки, лежащих между  $r_{th}$  и  $r_q$  (рис. 2 $a, b, \delta$ ), оба подхода полностью согласуются друг с другом. Характерный пороговый пик для  $Q$ -параметра Манделя [19] и пик, обусловленный эффектом «запирания» атома в возбужденном состоянии, хорошо описывается найденной функцией (14). Для значений параметра накачки, лежащих много ниже классического порога  $r_{th}$ , решение (14) дает нефизический результат для  $Q$ -параметра Манделя. Для получения результатов в этом случае использовано решение (16) (сияния пунктирная кривая).

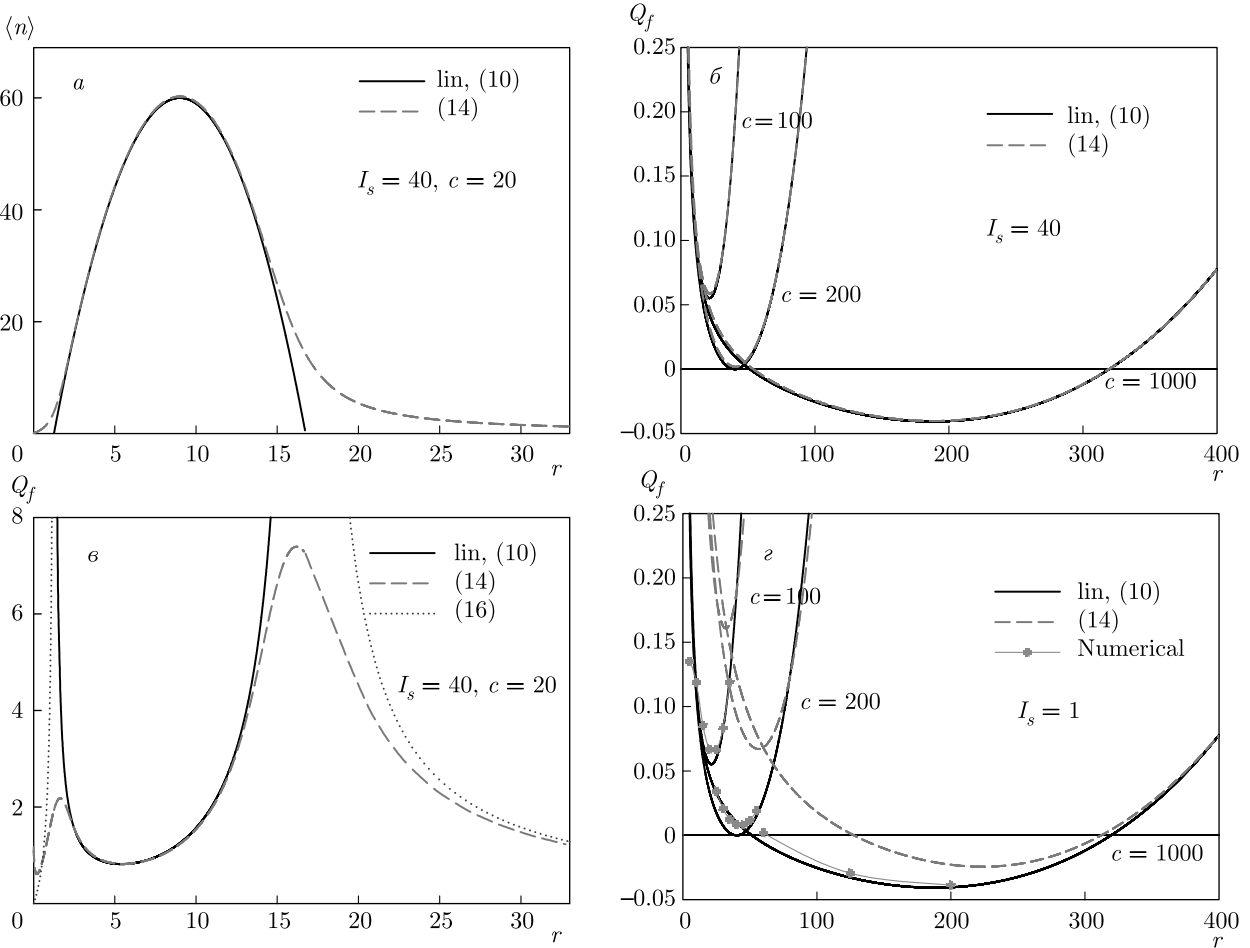
На рис. 2 $\delta$  рассматривается переход в режим сильной связи, когда возникает слабая субпуассоновская статистика фотонов, предсказанная «линейной» теорией. Как видно из рисунка, найденная функция  $Q_0(I)$  (14) полностью описывает этот квантовый эффект.

Режим «плохого» резонатора  $I_s \sim 1$  рассмотрен на рис. 2 $\varepsilon$ . Графики для  $Q$ -параметра Манделя  $Q_f^{lin}$  (10), в силу его естественной зависимости только от параметров  $r, c$ , полностью совпадают с графиками на рис. 2 $\delta$ . Из сравнения с численными расчетами видно, что результаты, полученные с помощью «линейной» теории (10), лучше описывают переход в субпуассоновский режим. Для «плохого» резонатора функция  $Q_0(I)$  (14) дает только качественный результат. Однако в пределе  $c \rightarrow \infty$  результаты, полученные с помощью функции  $Q_0(I)$  (14), совпадут с результатами «линейной» теории.

## 5. АППРОКСИМАЦИЯ ФУНКЦИИ $Q_0(I)$ ГАУССОВЫМ РАСПРЕДЕЛЕНИЕМ

Рассмотрим режим «хорошего» резонатора,  $I_s \gg 1$ , и значения параметра накачки, близкие к  $r_m$  (10), (11). Учтем, что в рассматриваемом случае  $I_{+4} \approx I_{+5}$  и  $I_{-5} \approx I_0$ . Отсюда  $f_1 \approx (b_{52}/b_{42})(I_0 - I_{-4})$ ,  $f_2 \approx 0$  и (14) можно переписать следующим образом:

$$Q_0(I) = N_0 \left( 1 + \frac{\Delta I}{I_0 - I_{-4}} \right)^{(b_{52}/b_{42})(I_0 - I_{-4})} \times \\ \times \exp \left( -\frac{b_{52}}{b_{42}} \Delta I \right), \quad (17)$$



**Рис. 2.** (В цвете онлайн) Сравнение результатов «линейной» теории (10) с результатами, полученными с помощью функции  $Q_0(I)$  (14). *a, в*) Зависимости среднего числа фотонов  $\langle n(r) \rangle$  и  $Q$ -параметра Манделя  $Q_f(r)$  от параметра накачки  $r$ ;  $I_s = 40$ ,  $c = 20$ . *б, г*) Зависимости  $Q$ -параметра Манделя  $Q_f(r)$  от параметра накачки  $r$ . Переход в режим сильной связи: *б*) «хороший» резонатор,  $I_s = 40$ ; *г*) «плохой» резонатор,  $I_s = 1$ . Зеленые точки — численный расчет

где  $\Delta I = I - I_0$  и  $I_0 - I_{-4} \gg 1$ . Функция (17) имеет максимум, соответствующий значениям  $I$ , близким к классическому решению  $I_0$ , т. е. для  $\Delta I \approx 0$ . Тогда в области значений переменной  $I$ , для которых (17) не является пренебрежимо малой, т. е. для  $I$ , не слишком удаленных от значения  $I_0$ , можно сделать следующее разложение предэкспоненциального множителя:

$$\begin{aligned} \left(1 + \frac{\Delta I}{I_0 - I_{-4}}\right)^{-(I_0 - I_{-4})} &= \\ &= \exp \left[ - (I_0 - I_{-4}) \ln \left(1 + \frac{\Delta I}{I_0 - I_{-4}}\right) \right] \approx \\ &\approx \exp \left[ -\Delta I + \frac{(\Delta I)^2}{2(I_0 - I_{-4})} \right]. \end{aligned} \quad (18)$$

Подставляя (18) в (17) видим, что  $Q$ -функция принимает вид гауссовой функции:

$$Q_0(I) = N_0 \exp \left[ -\frac{(\Delta I)^2}{2\sigma^2} \right], \quad (19)$$

где дисперсия  $\sigma^2 = (I_0 - I_{-4}) b_{42}/b_{52}$  определяется решениями (10),

$$\begin{aligned} \sigma^2 &= \pi \int_0^\infty I^2 Q_0(I) dI - \left( \pi \int_0^\infty I Q_0(I) dI \right)^2 = \\ &= 1 + I_0 (2 + Q_f^{lin}). \end{aligned} \quad (20)$$

Таким образом, как это следует из (20), решение (19) описывает слабую субпуассоновскую статистику фотонов в mode резонатора. В самом деле, по определению  $Q$ -параметра Манделя имеем

$$Q_f = \frac{\pi \int_0^\infty I^2 Q(I) dI - \left( \pi \int_0^\infty IQ(I) dI \right)^2 - \pi \int_0^\infty IQ(I) dI}{\pi \int_0^\infty IQ(I) dI - 1} - 1 \approx \frac{\sigma^2 - I_0 - 1}{I_0} - 1 = Q_f^{lin}. \quad (21)$$

Отметим, что для функции  $P_0(I)$  в работе [21] также было получено гауссово выражение, типа (19). Однако дисперсия  $\sigma^2$  в этом случае была равна произведению  $I_0 Q_f^{lin}$ , которое для субпуассоновской статистики фотонов становилось отрицательным, что делало функцию  $P_0(I)$  неограниченной.

## 6. ЗАКЛЮЧЕНИЕ

В данной работе на основе уравнения для усредненной по фазе  $Q$ -функции (9) исследовался стационарный режим работы одноатомного лазера с некогерентной накачкой. В «классическом» режиме ( $g/\kappa \gg 1$ ) получено приближенное решение этого уравнения (14), (16). Это решение описывает основные особенности одноатомного лазера, в частности, позволяет описать слабую субпуассоновскую статистику фотонов в mode резонатора, ранее обнаруженную с помощью подхода, основанного на линеаризации уравнений Гейзенберга – Ланжевена вблизи сильного классического решения (10) [19, 21].

Подытоживая, можно сказать, что анализ стационарного режима работы одноатомного лазера с некогерентной накачкой может быть сведен к анализу одного линейного однородного дифференциального уравнения. Так, в случае  $P$ -функции это уравнение (41) в [21], а для  $Q$ -функции — уравнение (9) данной статьи. В рассмотренном здесь и в работе

[21] предельном случае  $g/\kappa \gg 1$  в упомянутых дифференциальных уравнениях появляется малый параметр, который относительно легко позволяет найти приближенные решения этих уравнений.

В конце отметим, что уравнение (9) также анализировалось в работе [25], где рассматривался частный случай  $\Gamma \approx \kappa$ , т. е. случай малого числа фотонов в mode резонатора. Для произвольных значений отношения  $g/\kappa$  анализ уравнения (9) был затруднителен. Только в предельном случае  $g/\Gamma \approx g/\kappa \rightarrow \infty$  были найдены точные аналитические решения уравнения (9), одно из которых совпадает с решением (16). В случае малого числа фотонов более плодотворным оказался подход, основанный на анализе бесконечной системы алгебраических уравнений для различных моментов полевых операторов [33]. Возможно, именно этот подход для некоторых частных случаев позволит найти точные решения для средних величин, характеризующих одноатомный лазер [34].

**Финансирование.** Работа выполнена в рамках Государственного задания на проведение фундаментальных исследований (код темы FSEG-2020-0024).

## ПРИЛОЖЕНИЕ

Коэффициенты  $b_{ik}$  из уравнения (9) равны

$$\begin{aligned} b_{02} &= -\frac{1}{2} [1 + I_s(r+1)], \quad b_{03} = 1; \\ b_{11} &= -3 [1 + I_s(r+1)], \\ b_{12} &= \frac{1}{2} [7 - 3I_s(r+1)], \quad b_{13} = 3; \\ b_{20} &= -3 [1 + I_s(r+1)], \\ b_{21} &= \frac{1}{4} [-21 - 26I_s(r+1) + 3I_s^2(r+1)^2], \\ b_{22} &= -3 [-4 + I_s(r+1)], \quad b_{23} = 3; \\ b_{30} &= \frac{1}{2} [-15 - 8I_s(r+1) + 3I_s^2(r+1)^2], \end{aligned}$$

$$\begin{aligned}
b_{31} &= -\frac{1}{2} I_s \left[ c(1 + I_s(r+1)) - (r+1)(-13 + 3I_s(r+1)) \right], \\
b_{32} &= \frac{1}{2} [23 + I_s(2c - 7(r+1))], \quad b_{33} = 1; \\
b_{40} &= \frac{1}{4} \left[ -24 + I_s(r+1-3c) - I_s^3(r+1)(c+(r+1)^2) + I_s^2(8(r+1)^2 - c(3r+4)) \right], \\
b_{41} &= \frac{1}{4} \left[ 15 - 2I_s(c+10(r+1)) + I_s^2(5(r+1)^2 - 2c(2r+1)) \right], \\
b_{42} &= \frac{1}{2} [7 + I_s(4c - 3(r+1))]; \\
b_{50} &= \frac{1}{4} \left[ -6 + I_s(5(r+1) - 3c) + I_s^3(r+1)(c(r-1) - (r+1)^2) + I_s^2(2(r+1)^2 - 4c) \right], \\
b_{51} &= \frac{1}{2} [3 - 4I_s(r+1) + I_s^2((r+1)^2 - 2cr)], \quad b_{52} = cI_s.
\end{aligned} \tag{22}$$

## ЛИТЕРАТУРА

1. I. R. Berchera and I. P. Degiovanni, *Metrologia* **56**, 024001 (2019).
2. V. D’ambrosio, N. Spagnolo, L. Del Re et al., *Nat. Commun.* **4**, 2432 (2013).
3. S. Pogorzalek, K. G. Fedorov, M. Xu et al., *Nat. Commun.* **10**, 2604 (2019).
4. K. С. Тихонов, А. Д. Манухова, С. Б. Королёв, Т. Ю. Голубева, Ю. М. Голубев, *Опт. и спектр.* **127**, 811 (2019).
5. J. Shi, G. Patera, D. B. Horoshko, and M. I. Kolobov, *J. Opt. Soc. Amer. B* **37**, 3741 (2020).
6. S. Ritter, C. Nolleke, C. Hahn et al., *Nature* **484**, 195 (2012).
7. C. O. Тарасов, С. Н. Андрианов, Н. М. Арсланов, С. А. Моисеев, *Изв. РАН, сер. физ.* **82**, 1148 (2018).
8. Е. Н. Попов, В. А. Реметов, *Письма в ЖЭТФ* **111**, 846 (2020).
9. A. A. Sokolova, G. P. Fedorov, E. V. Il’ichev, and O. V. Astafiev, *Phys. Rev. A* **103**, 013718 (2021).
10. Д. Ф. Смирнов, А. С. Трошин, *УФН* **153**, 233 (1987).
11. S. Ya. Kilin and T. B. Krinitskaya, *J. Opt. Soc. Amer. B* **8**, 2289 (1991).
12. Yi Mu and C. M. Savage, *Phys. Rev. A* **46**, 5944 (1992).
13. А. В. Козловский, А. Н. Ораевский, *ЖЭТФ* **115**, 1210 (1999).
14. B. Jones, S. Ghose, J. P. Clemens, P. R. Rice, and L. M. Pedrotti, *Phys. Rev. A* **60**, 3267 (1999).
15. Т. Б. Карлович, С. Я. Килин, *Опт. и спектр.* **91**, 374 (2001).
16. С. Я. Килин, Т. Б. Карлович, *ЖЭТФ* **122**, 933 (2002).
17. Т. Б. Карлович, С. Я. Килин, *Опт. и спектр.* **103**, 288 (2007).
18. Т. Б. Карлович, *Опт. и спектр.* **111**, 758 (2011).
19. N. V. Larionov and M. I. Kolobov, *Phys. Rev. A* **84**, 055801 (2011).
20. S. Ya. Kilin and A. B. Mikhalychev, *Phys. Rev. A* **85**, 063817 (2012).
21. N. V. Larionov and M. I. Kolobov, *Phys. Rev. A* **88**, 013843 (2013).
22. E. N. Popov and N. V. Larionov, *Proc. SPIE* **9917**, 99172X (2016), DOI:10.1117/12.2229228.
23. Б. А. Бобрикова, Р. А. Хачатрян, К. А. Барапцев, Е. Н. Попов, *Опт. и спектр.* **127**, 976 (2019).

- 24.** N. V. Larionov, *Proc. 2020 IEEE Int. Conf. on Electrical Engineering and Photonics (EExPolytech)*, 265 (2020), DOI: 10.1109/EExPolytech50912.2020.9243955.
- 25.** N. V. Larionov, *J. Phys.: Conf. Ser.* **2103**, 012158 (2021), DOI: 10.1088/1742-6596/2103/1/012158.
- 26.** B. Parvin, *Eur. Phys. J. Plus* **136**, 728 (2021).
- 27.** D. B. Horoshko, Chang-Shui Yu, and S. Ya. Kilin, *J. Opt. Soc. Amer. B* **38**, 3088 (2021).
- 28.** J. McKeever, A. Boca, A. D. Boozer, J. R. Buck, and H. J. Kimble, *Nature* **425**, 268 (2003).
- 29.** M. Nomura, N. Kumagai, S. Iwamoto, Y. Ota, and Y. Arakawa, *Opt. Express* **17**, 15975 (2009).
- 30.** F. Dubin, C. Russo, H. G. Barros A. Stute, C. Becher, P. O. Schmidt, and R. Blatt, *Nat. Phys.* **6**, 350 (2010).
- 31.** А. Найфэ, *Введение в методы возмущений*, Мир, Москва (1984).
- 32.** Л. Мандель, Э. Вольф, *Оптическая когерентность и квантовая оптика*, Физматлит, Москва (2000).
- 33.** G. S. Agarwal and S. Dutta Gupta, *Phys. Rev. A* **42**, 1737 (1990).
- 34.** Ф. М. Федоров, *Бесконечные системы линейных алгебраических уравнений и их приложения*, Наука, Новосибирск (2011).